

تأثیر هیدروژن بر رفتار مکانیکی و مکانیزم‌های شکست در فولادکم کربن 2.25 Cr - 1Mo

حسن فرهنگی

استادیار گروه مهندسی متالورژی و مواد - دانشکده فنی - دانشگاه تهران
حمید قاسمی

کارشناس ارشد، عضو هیئت علمی پژوهشگاه صنعت نفت

سید شمس الدین عابدی

فارغ التحصیل کارشناسی ارشد گروه مهندسی متالورژی و مواد - دانشکده فنی - دانشگاه تهران

(تاریخ دریافت ۱۱/۴/۸۱، تاریخ تصویب ۱۹/۱۲/۸۱)

چکیده

د پژوهش حاضر تاثیر هیدروژن بر رفتار مکانیکی، خواص انعطاف پذیری و مکانیزم شکست در فولاد کم کربن و کم آلیاز 2.25Cr-1Mo با ریز ساختار کاملاً بینیتی مورد بررسی و تحقیق قرار گرفته است. ورود هیدروژن بدرونو ساختار از طریق شارژ کاتدی در محلول اسید سولفوریک یک نرمال حاوی اکسید آرسنیک بعنوان سم کاتدی صورت گرفت. در ادامه آزمایش‌های بار آویزان، کشش با نرخ کرنش پائین (SSRT) در گستره نرخ کرنش 10^{-4} تا 10^{-6} و کشش با سرعت معمولی (10^{-2} تا 10^{-5}) انجام شد. مطالعات شکست نگاری به کمک میکروسکوپ استریوو و میکروسکوپ الکترونی رویشی (SEM) صورت گرفت. نتایج بدست آمده نشان می‌دهد شارژ کاتدی هیدروژن بدرونو ساختار موجب تغییر رفتار سیلانی درجهت افت خواص مکانیکی آلیاز می‌گردد؛ بطوريکه استحکام کششی و نتش حقیقی شکست کاهش قابل ملاحظه‌ای یافته و انعطاف پذیری نمونه‌ها تا حد شکست کاملاً ترد افت می‌نماید. نتایج بررسی شکست نگاری حاکی از آن است که ورود هیدروژن بدرونو ساختار موجب انتقال تاکیه جوانی ذنبی ترک از مغز نمونه به نزدیکی سطح آزاد، در نمونه‌های کششی و SSRT، و تغییر مکانیزم اشاعه اولیه ترک از اتصال حفرات به مرز دانه‌ای، در کلیه نمونه‌ها، می‌گردد. در مراحل بعدی رشد ترک در کلیه نمونه‌های شارژ شده مکانیزم شکست کم انرژی و ترد شبه کلیوایزی می‌باشد که بصورت گسترده‌ای فعال می‌شود. نتایج مذکور در قالب یک مدل از نحوه اشاعه و گسترش ترک در نمونه‌های مورد آزمایش ارائه شده است.

واژه‌های کلیدی: تردی و ترک برداری هیدروژنی، 2.25Cr-1Mo، ریز ساختار کاملاً بینیتی، مکانیزم اشاعه ترک هیدروژنی،
بارگذاری آویزان، رفتار سیلانی

مقدمه

حمله هیدروژنی در دما و فشارهای بالای اتمسفر حاوی هیدروژن می‌باشند. در مقاله حاضر تنها جنبه‌های تردی و ترک برداری هیدروژنی و مورفولوژی سطوح شکست مورد بررسی قرار می‌گیرند.

در یک تعریف کلی تردی هیدروژنی^۱ عبارتست از اثرات تردی ناشی از ورود هیدروژن بداخل ساختار و تخریب خواص مکانیکی (نظیر کاهش انعطاف پذیری، و چقرمگی شکست) قطعه یا سازه فولادی، تحت شرایط سرویس دهی می‌باشد. با وجود مطالعات زیادی که تاکنون صورت گرفته هنوز تئوری یا مدل جامعی که قادر به توجیه این پدیده در کلیه فلزات و آلیاژها باشد ارائه نشده

فولادها یکی از پرمصرفترین مصالح صنعتی در ساخت بسیاری از تجهیزاتی که به نوعی در تماس با هیدروژن قرار دارند، نظیر راکتورهای عملیات هیدروژنی، مخازن نگاهدارنده سولفید هیدروژن، لوله‌های استخراج نفت و گاز ترش و غیره می‌باشند. انهدام و شکست ناشی از هیدروژن سالیانه خسارات مالی هنگفتی را بر صنعت تحمیل می‌نماید [۱]. به همین دلیل تاکنون مطالعات و تحقیقات زیادی پیرامون بررسی اثرات تخریبی هیدروژن در فلات و آلیاژها صورت گرفته است [۲-۱۰]. آسیب‌های هیدروژنی شامل پدیده‌های تردی و ترک برداری هیدروژنی، تشکیل هیدرورهای آلیاژی شکننده، تاول زدن و

جدول ۱: ترکیب شیمیایی فولاد مورد استفاده در تحقیق حاضر (بر حسب درصد وزنی %).

C	Si	S	P	Mn	Ni	V	Cu	Al	Cr	Mo
۰/۱۱۱	۰/۱۹۲	۰/۰۰۳	۰/۰۱۱	۰/۴۲	۰/۱۰۲	۰/۰۰۷	۰/۱۵	۰/۰۱	۲/۳۸۱	۰/۹۶۳

شکست ناشی از تردی هیدروژنی در آلیاژ مذکور، به منظور تعیین مکانیزم‌های شکست صورت گرفته است [۱]. در این تحقیق ضمن بررسی تأثیر هیدروژن بر خواص مکانیکی، مکانیزم‌های شکست و نحوه اشاعه ترک در نمونه‌های صاف و شیار دار فولاد 2.25Cr-1Mo با ریز ساختار بینیتی تحت شرایط اعمال شارژ کاتدی هیدروژن، در قالب مدل‌های شماتیک ارائه گردیده است.

است. در واقع هر یک از تئوریهای ارائه شده توجیه کننده پخشی از اثرات پدیده مذکور در گروه یا تعداد خاصی از فلزات و آلیاژهای باشد [۳] تجربه هم نشان می‌دهد حتی در خانواده فولادها نیز نمی‌توان یک نسخه عمومی و جامع برای مبارزه با این پدیده مخبر ارائه نمود [۴]. لذا تبیین خواص مکانیکی و رفتار ترک‌برداری و شکست ناشی از هیدروژن جهت حصول اطمینان از نحوه عملکرد آلیاژ مورد بررسی در پدیده تردی هیدروژنی ضروری به نظر می‌رسد.

روش تحقیق و آزمایشها

جهت انجام بررسی حاضر از ورق فولادی 2.25Cr-1Mo فورج شده به ضخامت ۱۵mm با ترکیب شیمیائی ارائه شده در جدول شماره ۱ استفاده گردید. آلیاژ مذکور تحت شرایط نرم‌الیزه و تمپر شده با ریز ساختار اولیه فریتی- بینیتی (مطابق استاندارد ASTM A387 Gr. 22 Class 2) در دسترس قرار گرفت. پس از تهیه نمونه‌های آزمایش به منظور دستیابی به ریز ساختار کاملاً بینیتی، نمونه‌ها در دمای ۹۵۰°C و مدت زمان ۲۰ دقیقه تحت اتمسفر دمتش گاز خنثی ازت آستنتیته شده و پس از خارج کردن از کوره با دمای ۳۰۰°C در ۱۰ دقیقه در یک فرآیند شارژ کاتدی هیدروژن بدروز ناچیه طول ۲۰mA/cm² در مدت ۱۱ ساعت در محلول $\text{As}_2\text{O}_3 + 20\text{ ppm H}_2\text{SO}_4$ آزمایش شکست گرفت. جهت تعیین تأثیر هیدروژن بر خواص استحکامی و انعطاف پذیری فولاد مورد بررسی، آزمایش‌های کشش با سرعت معمولی [ASTM E8-98]، کشش با نرخ کرنش پائین [ASTM G129-95] در نرخهای کرنش 10^{-5} ، 10^{-4} و 10^{-3} mm/s و روی نمونه‌های بدون شیار (قطر ۹mm و طول سنجه ۴۵mm) آزمایش بار اویزان [BS EN2832:1993] بر روی نمونه‌های شیاردار مدور انجام شد. اندازه و ابعاد نمونه شیاردار در شکل (۱) نشان داده شده است. به منظور بررسی اثرات هیدروژن بر رفتار شکست نمونه‌ها، مطالعات شکست نگاری با استفاده از میکروسکوپ استریو و میکروسکوپ الکترونی روبشی (SEM) بر روی هر یک از نمونه‌ها صورت گرفت.

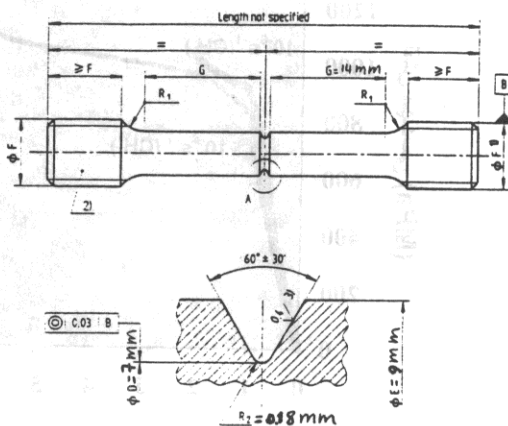
در شرایط سرویس دهی در فشار و دماهای بالای محیط حاوی هیدروژن از فولادهای حاوی کروم و مولیبدن استفاده می‌گردد. فولاد کم کربن و کم آلیاژ 2.25Cr-1Mo یکی از پرمصرفترین اعضای خانواده فولادهای کروم- مولیبدنی در ساخت راکتورهای تحت فشار و دمای بالا، نظیر آیزوماکس (Isomax) می‌باشد. این مخازن دارای یک یا چند لایه روش فولاد زنگ بر روی جدار داخلی راکتور بوده و عمدتاً جهت عملیات هیدروژن دهی در دماهای فشارهای بالا بکار گرفته می‌شوند [۵]. تحت این شرایط و به مرور زمان هیدروژن اتمی حاصل از واکنشهای درون راکتور به جدار مخزن نفوذ می‌نماید. حالیت هیدروژن با کاهش دما و فشار در حین توقف واحد شدیداً کاهش یافته و بسته به سرعت خروج هیدروژن از فولاد پایه (2.25Cr-1Mo) و سرعت سردکردن، مقداری از اتمهای هیدروژن در دمای محیط در جدار مخزن حبس می‌گرددند. اثرات ناشی از حضور هیدروژن نظیر بروز تردی و ترک برداری هیدروژنی که در هر مرحله از توقف واحد ایجاد می‌گردد، سبب افت خواص مکانیکی و کاهش اینمی‌سازه می‌گردد [۶-۸]. در صنعت جهت کاهش احتمال بروز پدیده مذکور، سردکردن راکتور از دمای کاری تا دمای محیط مطابق مراحل ویژه‌ای انجام می‌شود [۹-۱۰]. اما تحت شرایط اضطراری نظیر بروز آتش سوزی گستردگی در پالایشگاه که توقف واحد یکباره و بدون طی مراحل لازم و استاندارد صورت می‌گیرد، احتمال بروز پدیده تردی هیدروژنی افزایش می‌یابد. گام نخست در کاهش و حذف اثرات مخبر یاد شده شناخت هر چه بیشتر پدیده تردی هیدروژنی و اثرات ناشی از آن در این گروه از فولادها می‌باشد. تا کنون نیز مطالعات کمی بر روی سطوح

داده شده است. بطوریکه ملاحظه می‌گردد زمان لازم برای بازیابی خواص مکانیکی در آزمایش بار آویزان برابر ۳۲ ساعت دی‌شارژ می‌باشد.

زمانیکه نمونه‌های مورد آزمایش بلافضله بعد از اعمال شارژ کاتدی تحت بارگذاری قرار می‌گیرند، علاوه بر سطح شکست اصلی، تعدادی ترکهای حلقوی نیز در مقطع طول سنجه نمونه‌ها ایجاد می‌گردد. تصویر ترکهای حلقوی مذکور در شکل (۵-الف) نشان داده شده است. همانطوریکه ملاحظه می‌گردد این ترکها در فواصل مختلف از مقطع شکست اصلی تشکیل می‌گردند. لازم به ذکر است که ترکهای مزبور تنها در ناحیه طول سنجه نمونه‌های SSRT با نرخ کرنش 10^{-4} mm/s ، کشش با سرعت معمولی و نمونه‌های شیاردار در آزمایش بار آویزان ملاحظه گردید. بررسیهای صورت گرفته بر روی برش مقطع طولی ناحیه طول سنجه نمونه‌های یاد شده نشان می‌دهد که ترکهای حلقوی مذکور ابتدا بصورت زیر سطحی و در فصل مشترک آخال با زمینه جوانه زده و سپس به سطح راه می‌یابند (شکل ۵-ب). در ادامه به دلیل بروز تمرکز تنش در نوک ترک (به واسطه اعمال بارکشی بر نمونه) ترک تا عمق 2 mm به درون ساختار گسترش می‌یابد. اشعاعه اولیه ترکهای مذکور بصورت مرزدانه‌ای (در راستای مرزدانه آستنیت اولیه) صورت می‌گیرد.

تصاویر استریو سطح شکست نمونه شیاردار در حالت شارژ نشده و نمونه شیارداری که بلافضله بعد از اعمال شارژ کاتدی تحت بارگذاری آویزان قرار گرفته در شکل (۶) نشان داده شده است. همانطوریکه ملاحظه می‌گردد با شارژ کاتدی هیدروژن، تغییرات قابل ملاحظه‌ای در مشخصه‌های ماکروسکوپی سطح شکست نمونه در مقایسه با حالت شارژ نشده بروز می‌نماید. تصاویر میکروسکوپ الکترونی روبشی از مورفولوژی اشاعه ترک در سطح شکست نمونه‌های شیاردار شارژ نشده و شارژ شده به ترتیب در شکلهای (۷) و (۸) نشان داده شده است.

مطالعات شکست نگاری بر روی سطوح شکست نمونه‌های مختلف به کمک میکروسکوپ استریو و میکروسکوپ الکترونی روبشی انجام شد. بررسیهای صورت گرفته بر روی سطوح شکست نمونه‌های شیاردار شارژ نشده نشان می‌دهد که اشعاعه ترک در جلوی نوک شیار با مکانیزم بهم پیوستن حفرات صورت گرفته (تصویر ۷-الف) و در مغز نمونه با مکانیزم شبه کلیواژی خاتمه می‌یابد (تصویر ۷-ب). شارژ کاتدی هیدروژن تغییرات قابل ملاحظه‌ای را در رفتار شکست نمونه‌های شیاردار ایجاد می‌نماید

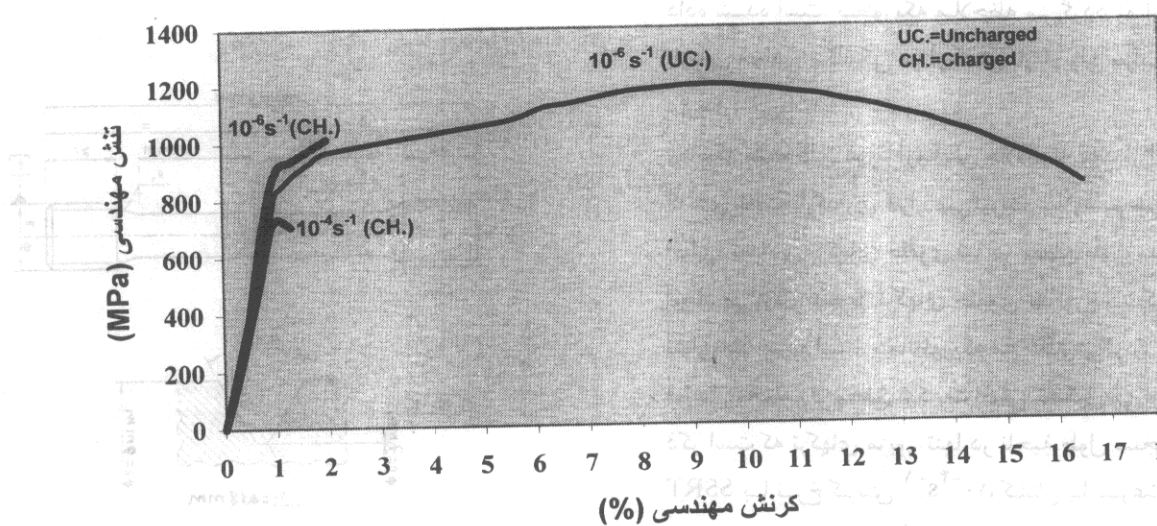


شکل ۱: اندازه و ابعاد نمونه‌های آزمایش بار آویزان (مطابق استاندارد BSEN 2832:1993). بار اعمالی ۷۵٪ استحکام کششی نمونه شیار دار شارژ نشده و برابر N ۲۳۱۴ می‌باشد.

نتایج

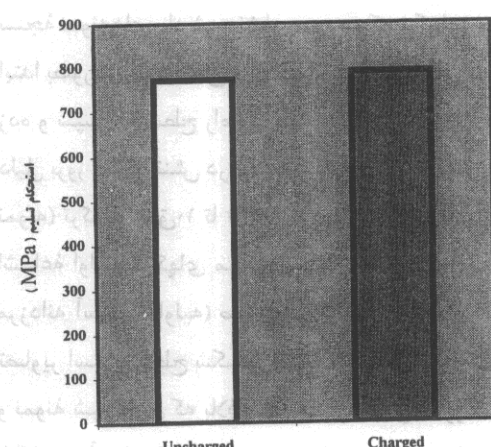
تأثیر هیدروژن بر رفتار سیلانی نمونه‌های SSRT (در نرخ کرنشهای مختلف) در شکل (۲) نشان داده شده است. همانطور که ملاحظه می‌شود با شارژ کاتدی هیدروژن، رفتار سیلانی تمامی نمونه‌های SSRT تغییر کرده و خواص استحکامی و انعطاف پذیری کاهش می‌یابد. با افزایش نرخ کرنش اعمالی از 10^{-4} mm/s به 10^{-6} mm/s در نمونه‌های شارژ شده منحنی سیلان پلاستیک به شدت افت می‌نماید. مقایسه تغییرات کمی خواص استحکامی و انعطاف پذیری نمونه‌های کشش با سرعت معمولی که بلافضله بعد از اعمال شارژ کاتدی تحت بارگذاری قرار گرفته‌اند در شکل (۳) نشان داده شده است. ملاحظه می‌گردد که شارژ کاتدی هیدروژن به درون نمونه‌های مذکور تاثیر قابل ملاحظه‌ای بر استحکام تسلیم نمونه‌ها نداشته ولی استحکام کششی و تنش حقیقی شکست به مقدار قابل توجهی کاهش یافته است. علاوه بر این انعطاف پذیری نمونه‌های مذکور تاحد شکست کاملاً ترد افت نموده است.

با قرار دادن نمونه‌های شارژ شده در اتمسفر محیط (با دمای 25°C و خروج هیدروژن از آنها خواص مکانیکی از دست رفته بتدریج بازیابی می‌گردد. این رفتار در قالب اندازه‌گیری زمان لازم تا شکست برحسب مدت زمان دی‌شارژ در دمای محیط در آزمایش بار آویزان بر روی نمونه‌های شیاردار در شکل (۴) نشان

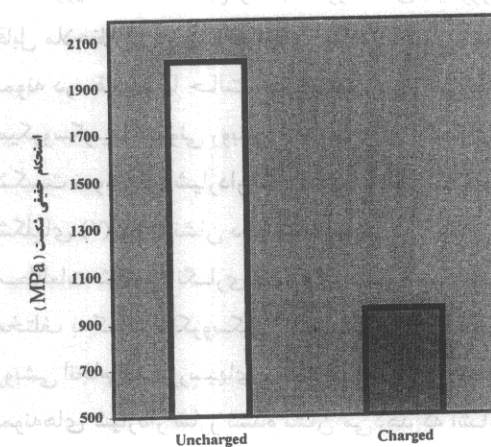


شکل ۲: تأثیر شارژ کاتدی بر فشار تنش - کرنش نمونه های SSRT در نرخ کرنشهای مختلف. نهاد علیا و فاعلیت / پاسخ

۱۰۰۰-۱۲۰۰



۸۰۰-۱۰۰۰



۵۰۰-۲۱۰۰

(ج) (الف)

۵۰۰-۲۱۰۰

۵۰۰-۲۱۰۰

۵۰۰-۲۱۰۰

۵۰۰-۲۱۰۰

۵۰۰-۲۱۰۰

۵۰۰-۲۱۰۰

۵۰۰-۲۱۰۰

۵۰۰-۲۱۰۰

۵۰۰-۲۱۰۰

۵۰۰-۲۱۰۰

۵۰۰-۲۱۰۰

۵۰۰-۲۱۰۰

۵۰۰-۲۱۰۰

۵۰۰-۲۱۰۰

۵۰۰-۲۱۰۰

۵۰۰-۲۱۰۰

۵۰۰-۲۱۰۰

۵۰۰-۲۱۰۰

۵۰۰-۲۱۰۰

۵۰۰-۲۱۰۰

۵۰۰-۲۱۰۰

۵۰۰-۲۱۰۰

۵۰۰-۲۱۰۰

۵۰۰-۲۱۰۰

۵۰۰-۲۱۰۰

۵۰۰-۲۱۰۰

۵۰۰-۲۱۰۰

۵۰۰-۲۱۰۰

۵۰۰-۲۱۰۰

۵۰۰-۲۱۰۰

۵۰۰-۲۱۰۰

۵۰۰-۲۱۰۰

۵۰۰-۲۱۰۰

۵۰۰-۲۱۰۰

۵۰۰-۲۱۰۰

۵۰۰-۲۱۰۰

۵۰۰-۲۱۰۰

۵۰۰-۲۱۰۰

۵۰۰-۲۱۰۰

۵۰۰-۲۱۰۰

۵۰۰-۲۱۰۰

۵۰۰-۲۱۰۰

۵۰۰-۲۱۰۰

۵۰۰-۲۱۰۰

۵۰۰-۲۱۰۰

۵۰۰-۲۱۰۰

۵۰۰-۲۱۰۰

۵۰۰-۲۱۰۰

۵۰۰-۲۱۰۰

۵۰۰-۲۱۰۰

۵۰۰-۲۱۰۰

۵۰۰-۲۱۰۰

۵۰۰-۲۱۰۰

۵۰۰-۲۱۰۰

۵۰۰-۲۱۰۰

۵۰۰-۲۱۰۰

۵۰۰-۲۱۰۰

۵۰۰-۲۱۰۰

۵۰۰-۲۱۰۰

۵۰۰-۲۱۰۰

۵۰۰-۲۱۰۰

۵۰۰-۲۱۰۰

۵۰۰-۲۱۰۰

۵۰۰-۲۱۰۰

۵۰۰-۲۱۰۰

۵۰۰-۲۱۰۰

۵۰۰-۲۱۰۰

۵۰۰-۲۱۰۰

۵۰۰-۲۱۰۰

۵۰۰-۲۱۰۰

۵۰۰-۲۱۰۰

۵۰۰-۲۱۰۰

۵۰۰-۲۱۰۰

۵۰۰-۲۱۰۰

۵۰۰-۲۱۰۰

۵۰۰-۲۱۰۰

۵۰۰-۲۱۰۰

۵۰۰-۲۱۰۰

۵۰۰-۲۱۰۰

۵۰۰-۲۱۰۰

۵۰۰-۲۱۰۰

۵۰۰-۲۱۰۰

۵۰۰-۲۱۰۰

۵۰۰-۲۱۰۰

۵۰۰-۲۱۰۰

۵۰۰-۲۱۰۰

۵۰۰-۲۱۰۰

۵۰۰-۲۱۰۰

۵۰۰-۲۱۰۰

۵۰۰-۲۱۰۰

۵۰۰-۲۱۰۰

۵۰۰-۲۱۰۰

۵۰۰-۲۱۰۰

۵۰۰-۲۱۰۰

۵۰۰-۲۱۰۰

۵۰۰-۲۱۰۰

۵۰۰-۲۱۰۰

۵۰۰-۲۱۰۰

۵۰۰-۲۱۰۰

۵۰۰-۲۱۰۰

۵۰۰-۲۱۰۰

۵۰۰-۲۱۰۰

۵۰۰-۲۱۰۰

۵۰۰-۲۱۰۰

۵۰۰-۲۱۰۰

۵۰۰-۲۱۰۰

۵۰۰-۲۱۰۰

۵۰۰-۲۱۰۰

۵۰۰-۲۱۰۰

۵۰۰-۲۱۰۰

۵۰۰-۲۱۰۰

۵۰۰-۲۱۰۰

۵۰۰-۲۱۰۰

۵۰۰-۲۱۰۰

۵۰۰-۲۱۰۰

۵۰۰-۲۱۰۰

۵۰۰-۲۱۰۰

۵۰۰-۲۱۰۰

۵۰۰-۲۱۰۰

۵۰۰-۲۱۰۰

۵۰۰-۲۱۰۰

۵۰۰-۲۱۰۰

۵۰۰-۲۱۰۰

۵۰۰-۲۱۰۰

۵۰۰-۲۱۰۰

۵۰۰-۲۱۰۰

۵۰۰-۲۱۰۰

۵۰۰-۲۱۰۰

۵۰۰-۲۱۰۰

۵۰۰-۲۱۰۰

۵۰۰-۲۱۰۰

۵۰۰-۲۱۰۰

۵۰۰-۲۱۰۰

۵۰۰-۲۱۰۰

۵۰۰-۲۱۰۰

۵۰۰-۲۱۰۰

۵۰۰-۲۱۰۰

۵۰۰-۲۱۰۰

۵۰۰-۲۱۰۰

۵۰۰-۲۱۰۰

۵۰۰-۲۱۰۰

۵۰۰-۲۱۰۰

۵۰۰-۲۱۰۰

۵۰۰-۲۱۰۰

۵۰۰-۲۱۰۰

۵۰۰-۲۱۰۰

۵۰۰-۲۱۰۰

۵۰۰-۲۱۰۰

۵۰۰-۲۱۰۰

۵۰۰-۲۱۰۰

۵۰۰-۲۱۰۰

۵۰۰-۲۱۰۰

۵۰۰-۲۱۰۰

۵۰۰-۲۱۰۰

۵۰۰-۲۱۰۰

۵۰۰-۲۱۰۰

۵۰۰-۲۱۰۰

۵۰۰-۲۱۰۰

۵۰۰-۲۱۰۰

۵۰۰-۲۱۰۰

۵۰۰-۲۱۰۰

۵۰۰-۲۱۰۰

۵۰۰-۲۱۰۰

۵۰۰-۲۱۰۰

۵۰۰-۲۱۰۰

۵۰۰-۲۱۰۰

۵۰۰-۲۱۰۰

۵۰۰-۲۱۰۰

۵۰۰-۲۱۰۰

۵۰۰-۲۱۰۰

۵۰۰-۲۱۰۰

۵۰۰-۲۱۰۰

۵۰۰-۲۱۰۰

۵۰۰-۲۱۰۰

۵۰۰-۲۱۰۰

۵۰۰-۲۱۰۰

۵۰۰-۲۱۰۰

۵۰۰-۲۱۰۰

۵۰۰-۲۱۰۰

۵۰۰-۲۱۰۰

۵۰۰-۲۱۰۰

۵۰۰-۲۱۰۰

۵۰۰-۲۱۰۰

۵۰۰-۲۱۰۰

۵۰۰-۲۱۰۰

۵۰۰-۲۱۰۰

۵۰۰-۲۱۰۰

۵۰۰-۲۱۰۰

۵۰۰-۲۱۰۰

۵۰۰-۲۱۰۰

۵۰۰-۲۱۰۰

۵۰۰-۲۱۰۰

۵۰۰-۲۱۰۰

۵۰۰-۲۱۰۰

۵۰۰-۲۱۰۰

۵۰۰-۲۱۰۰

۵۰۰-۲۱۰۰

۵۰۰-۲۱۰۰

۵۰۰-۲۱۰۰

۵۰۰-۲۱۰۰

۵۰۰-۲۱۰۰

۵۰۰-۲۱۰۰

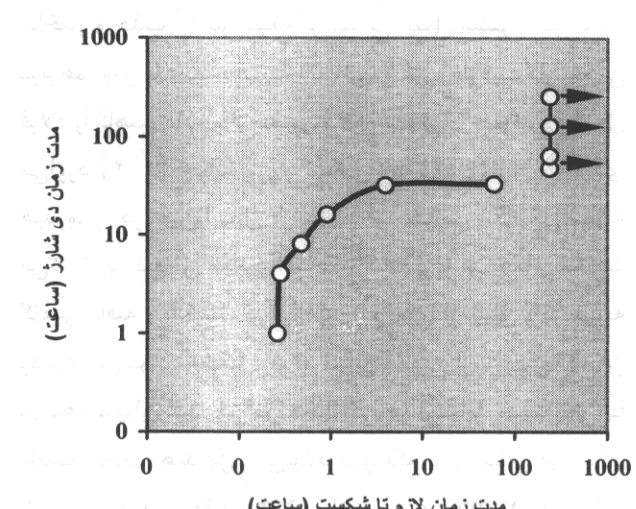
۵۰۰-۲۱۰۰

۵۰۰-۲۱۰۰

۵۰۰-۲۱۰۰

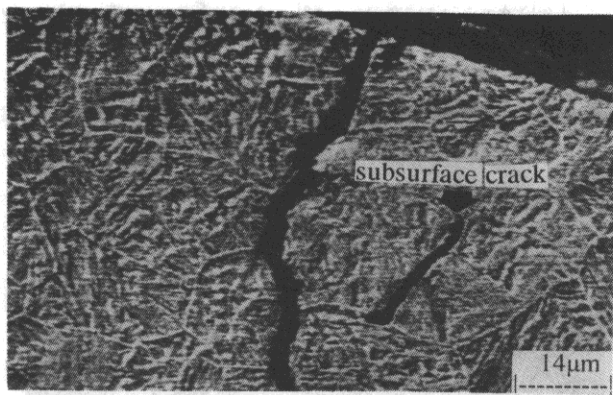
با مشخصه ظاهری جنایی شکل درشت (ناحیه ۱ در شکل ۶-ب) و مکانیزم مرزدانه‌ای (شکل ۸-الف) اشاعه می‌یابد، که پس از کامل شدن حلقه بصورت ترک واحدی به درون ناحیه مدور داخلی پیشروی نموده است. تحت این شرایط ترک حلقوی حاصله همانند شیاری با نوک بسیار تیز عمل کرده و با توجه به افزایش تنش ناشی از کاهش سطح مقطع موثر نمونه، رشد ترک بصورت ناپایدار و سریع با مشخصه خطوط شعاعی شکل (ناحیه ۲ در شکل ۶-ب) و مکانیزم شبکه کلیواژی (شکل ۸-ب) صورت می‌گیرد. در انتهای به دلیل پخش شدن انرژی توسعه ترک در داخل ساختار، افت سرعت رشد ترک، کاهش ضخامت باقیمانده و نزدیک شدن شرایط کرنش صفحه‌ای به تنش صفحه‌ای ناحیه هلالی کوچکی با مشخصه شکست رشته‌ای تشکیل شده (ناحیه ۳ در شکل ۶-ب) و شکست با مکانیزم بهم پیوستن حفرات خاتمه می‌یابد (شکل ۸-ب).

بررسی مورفولوژی و مکانیزم اشاعه ترک در نمونه‌های کششی با سرعت معمولی و SSRT در نرخهای کرنش مختلف طی مقاله جداگانه‌ای به تفصیل مورد بررسی قرار گرفته است [۱۲]. در خاتمه تأثیر هیدروژن، بر مورفولوژی سطح شکست در نمونه‌های شیاردار و بدون شیار بصورت مدل‌های شماتیک در شکل (۹) نشان داده شده است.

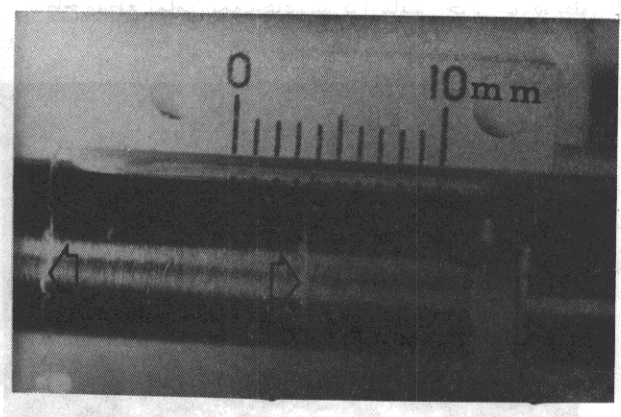


شکل ۴: تغییرات زمان لازم تا شکست بر حسب مدت زمان دی‌شارژ هیدروژن از نمونه‌های شیاردار در دمای محیط (25°C) در آزمایش بار آویزان.

(شکل ۶). بررسیهای نشان می‌دهد که سطح شکست نمونه شارژ شده از دو ناحیه مجزا بصورت یک حلقه بیرونی و یک ناحیه مدور داخلی تشکیل شده است. مشخصات ظاهری و علامت مشاهده شده در حلقه بیرونی سطح شکست حاکی از آن است که جوانه زنی ترک از یک یا چند ناحیه جلوی نوک شیار آغاز شده و



(ب)

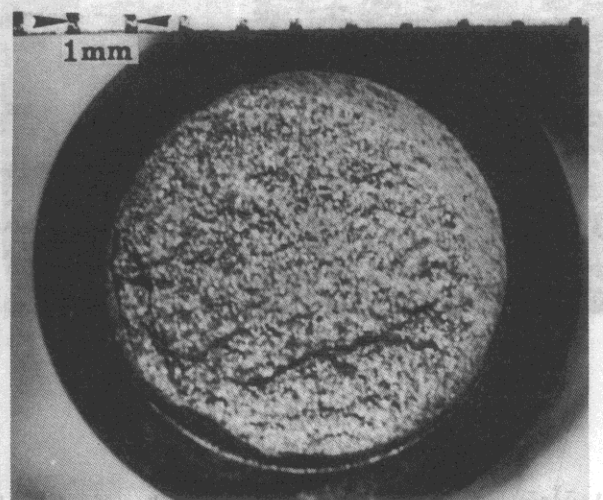
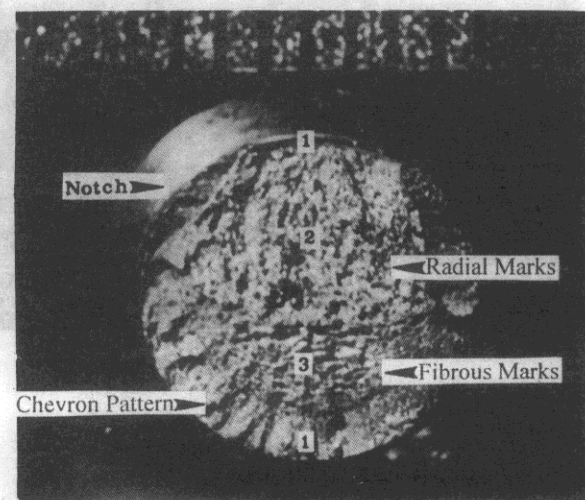


(الف)

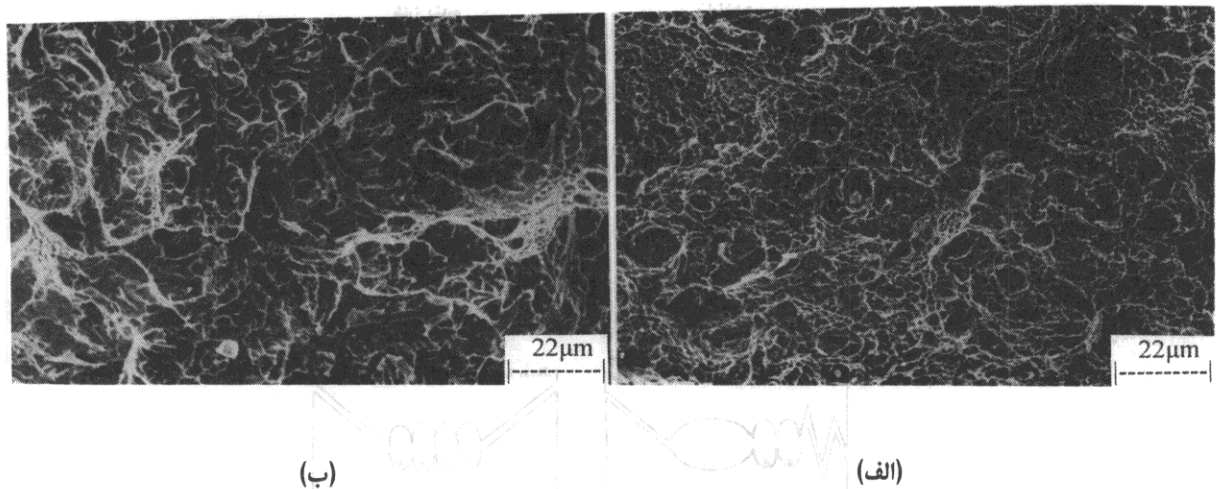
شکل ۵: ترکهای حلقوی ایجاد شده در ناحیه طول سنجه نمونه‌های شارژ شده (الف)- SSRT با نرخ کرنش اعمالی 10^{-4}s^{-1} و نمونه شیار دار در آزمایش بار آویزان. و (ب)- تصویر میکروسکوپ الکترونی رویشی (SEM) از مقطع ترکهای حلقوی ایجاد شده در ناحیه طول سنجه نمونه‌ها و مسیر اشاعه مرزدانه‌ای ترک در داخل ریزساختار بینیتی

ساختار و جذب آن در شبکه کریستالی، فصل مشترک ذرات فاز دوم همدومن با زمینه، هسته نابجاییها و غیره ظرفیت کار سختی فولاد را کاهش داده و از تغییر شکل ساختار جلوگیری بعمل می‌آورد [۳ - ۲]. جوانه زنی و تشکیل ریز ترکهای ناشی از تردی هیدروژن در حین اعمال بار سبب افت خواص مکانیکی نمونه می‌گردد. به تبع آن مقادیر استحکام کششی و استحکام شکست کاهش یافته و شکست در مقادیر پائین تری از تنش و کرنش به وقوع می‌پیوندد (شکل ۲۰۳). نتایج بعضی از بررسیها نشان می‌دهد میزان افت خواص مکانیکی در ارتباط مستقیمی با غلظت حجمی هیدروژن می‌باشد بطوریکه برای مثال در فولاد کمکربن و پراستحکام ابتدا ۴۴۴ ppm به غلظت هیدروژن موجود در نمونه استحکام شکست در حدود ۵۰ MPa افت می‌نماید [۱۴]. در بررسی حاضر نیز ملاحظه می‌گردد که با افزایش نرخ کرنش اعمالی و در نتیجه کاهش مدت زمان آزمایش و به تبع آن بالاتر بودن میزان هیدروژنهای متحرک باقیمانده در نمونه، استحکام کششی و شکست افت بیشتری می‌نماید (شکل ۲). میزان افت حاصله برای نمونه کشش با سرعت معمولی به ترتیب برابر ۲۰۰ و ۱۱۶ MPa در مقایسه با نمونه شارژ نشده می‌باشد (شکل ۳، ب و ج). تأثیر هیدروژن بر کاهش قابلیت انعطاف پذیری نمونه‌های ترد شده در هر دو آزمایش SSRT و کشش با سرعت معمولی بسیار شدید می‌باشد. اندازه گیریها نشان می‌دهد، درصد کاهش سطح مقطع تمامی نمونه‌های مورد آزمایش جزئی بوده، بطوریکه

بحث
تأثیر هیدروژن بر خواص مکانیکی (الف) نمونه شارژ نشده
 بر طبق تحقیقات صورت گرفته هیدروژن به دو شکل به دام افتاده^۴ و متحرک^۵ در درون ساختار فلزات حضور می‌یابد [۱۳]. هیدروژن به دام افتاده به هیدروژنی اطلاق می‌گردد که در موضع خاصی از ریز ساختار بهام افتاده و به تنهایی از قابلیت نفوذ در داخل ساختار برخوردار نمی‌باشد (نظیر تجمع مولکولی هیدروژنهای در بعضی از نواحی موجود در ساختار). هیدروژن متحرک نیز به هیدروژنی اطلاق می‌گردد که بصورت اتمی یا یونی (پروتون) بوده و از قابلیت جاذبجایی نفوذ در داخل ساختار و رساندن اخود به مناطق حساس و ضعیف نمونه برخوردار می‌باشد. هیدروژن متحرک بعنوان عامل اصلی در بروز پدیده تردی هیدروژنی به شمار می‌رود [۱۳]. تشکیل ترکهای هیدروژنی بستگی به غلظت هیدروژن موجود در داخل ساختار دارد. جوانه زنی و ترک برداری هیدروژنی زمانی رخ می‌دهد که غلظت هیدروژن در مناطق ضعیف و حساس نمونه و همچنین مناطق تنش سه محوری به یک حد بحرانی برسد، تا هیدروژن بتواند اثرات تردی خود را نمایان سازد [۱۴، ۱۵]. هیدروژن قادر است رفتار سیلانی، خواص استحکامی و انعطاف پذیری آلیاژ مورد بررسی را تحت تأثیر قرار دهد. در نمونه‌های SSRT با نرخ کرنشهای مختلف، شارژ کاتدی هیدروژن قابلیت سیلان ساختار را کاهش داده و با افزایش نرخ کرنش اعمالی اثرات مذکور تشدید می‌گردد. در واقع ورود هیدروژن به داخل

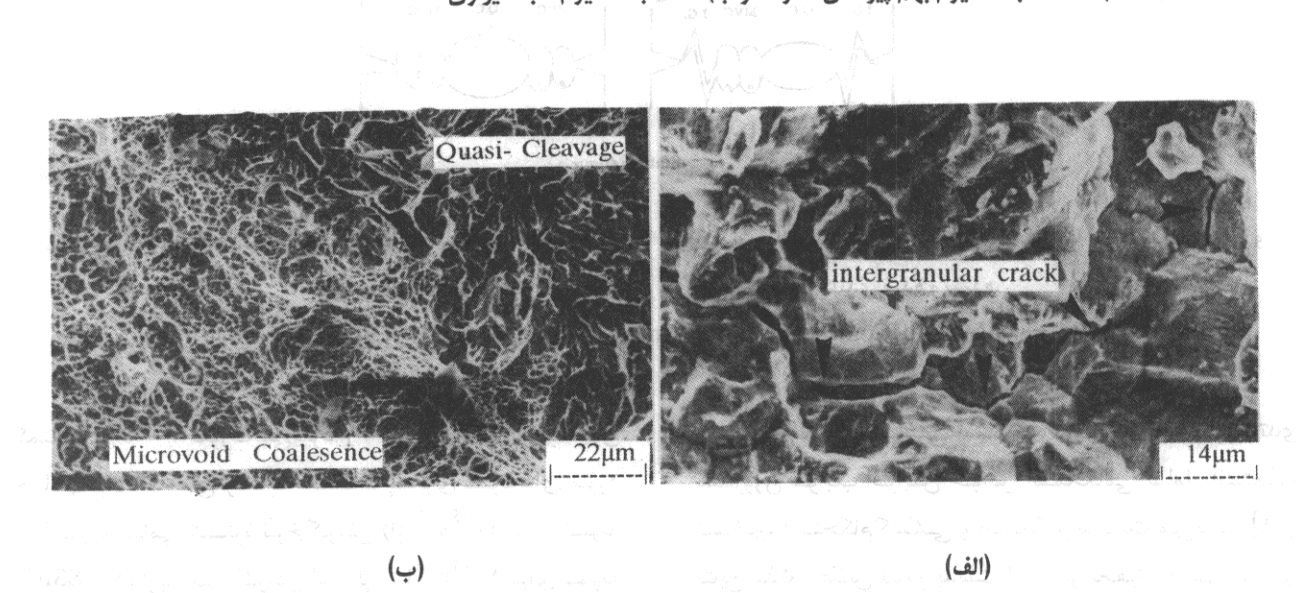


نمونه شارژ نشده (الف) و شارژ شده (ب) برای مقایسه جیوهست (ب) نیز نشان داده شده است. (الف) نمونه شارژ شده و (ب) نمونه شارژ نشده.



شکل ۷: تصاویر میکروسکوپ الکترونی رو بیشی از مکانیزم پیشرفت ترک در سطح شکست نمونه شیاردار شارژ نشده.

(الف)- اشاعه با مکانیزم بهم پیوستن حفرات و (ب) اشاعه با مکانیزم شبیه کلیوازی

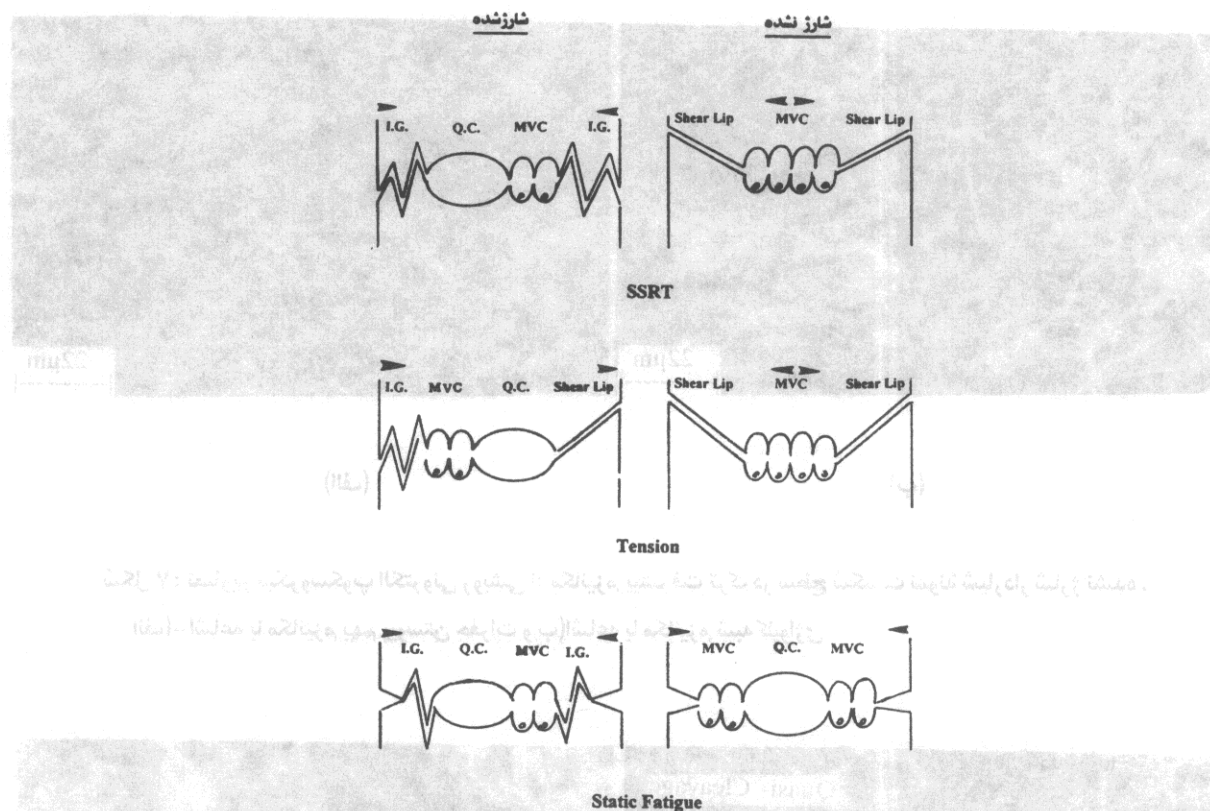


شکل ۸: تصاویر میکروسکوپ الکترونی از مکانیزم پیشرفت ترک در سطح شکست نمونه شیاردار شارژ کاتدی شده

(الف)- مکانیزم اولیه اشاعه ترک و (ب)- انتقال از مکانیزم شبیه کلیوازی به مکانیزم اتصال حفرات

انعطاف پذیری نمونه ها کاهش نیافته، بلکه اثرات تردی بنحو شدیدتری بروز نموده است. از آنجا که تردی هیدروژنی یک پدیده وابسته به زمان و نرخ کرنش به شمار می رود، عموماً انتظار می رود با افزایش نرخ کرنش اعمالی، هیدروژن فرست رساندن خود به مناطق حساس و ضعیف نمونه را نداشته، لذا اثرات تردی کاهش یابد. به همین علت عموماً این بررسی در نرخ کرنشهای

عملأً شکست بصورت کاملاً ترد صورت گرفته است (شکل ۳ و ۲). مقایسه رفتار انعطاف پذیری نمونه های SSRT در نرخ های کرنشی مختلف و کشش با سرعت معمولی با رفتار عمومی مورد انتظار در حوزه پدیده تردی هیدروژنی قبلأً مورد بحث و بررسی قرار گرفته است [۱۶]. اجمالاً نتایج بررسی مذکور نشان می دهد که نه تنها با افزایش نرخ کرنش اعمالی تاثیر هیدروژن بر قابلیت



شکل ۹: شماتیک مدل‌های اشعه ترک در نمونه‌های (الف)- کشش با نرخ کرنش آهسته (SSRT)، (ب)- کشش با سرعت معمولی و (ج)- (بار اویزان) در هر دو حالت شارژ کاتدی شده و نشده.

(MVC= Microvoid Coalescence, I.G.= Inter- Granular, Q.C.= Quasi- Cleavage)

با ریز ساختار کاملاً بینیتی تمپر شده نشان می‌دهد شارژ کاتدی هیدروژن موجب افزایش خواص استحکامی شامل استحکام تسلیم، استحکام کششی و استحکام شکست می‌گردد [۱۸]. نتایج مذکور عکس نتایج بدست آمده در تحقیق حاضر (بر روی ریز ساختار کاملاً بینیتی تمپر نشده) می‌باشد. به نظر می‌رسد تمپر نمودن ساختار بینیتی به دلیل کاهش دانسیته و بی‌نظمی نابجاییهای موجود در ریز ساختار، حذف تنشهای پسماند و تاثیر مفید آن در جهت افزایش انرژی به دام اندازی هیدروژنی متحرک توسط دامها، موجب افزایش مقاومت به تردی هیدروژنی ریز ساختار کاملاً بینیتی تمپر شده می‌گردد. علاوه بر این احتمالاً توزیع هیدروژن در ریز ساختار مذکور و اندرکش آن با فازهای موجود در ریز ساختار به گونه‌ای است که سبب افزایش خواص استحکامی در مقایسه با حالت شارژ نشده می‌گردد (به عبارتی موجب سخت‌تر شدن ساختار می‌گردد). با این وجود خواص

کمتر از 10^{-5} صورت می‌گیرد [۱۶]. حال آنکه در آزمایش حاضر ملاحظه می‌گردد که انعطاف پذیری نمونه‌های مورد آزمایش در تمامی گستره نرخ کرنش (از 10^{-4} تا 10^{-2} برای نمونه SSRT با کمترین نرخ کرنش اعمالی تا 10^{-1} برای نمونه کشش با سرعت معمولی) بسیار جزئی بوده و شکست بصورت کاملاً ترد صورت می‌گیرد. اثرات تردی هیدروژنی بر خواص مکانیکی نمونه‌های فولادی ترد شده یکسان نمی‌باشد. بررسیهای صورت گرفته بر روی فولاد 2.25Cr-1Mo با ریز ساختار فربیتی- بینیتی [۱۷] و فولاد 3Cr-1Mo [۱] نشان می‌دهد شارژ هیدروژن به درون ساختار تاثیر قابل ملاحظه‌ای بر رفتار سیلانی و خواص استحکام تسلیم و کششی آلیاژهای مذکور نداشته و تنها شکست در تنشهای و کرنشهای حقیقی پائین تری بوقوع می‌پیوندد. مطالعات انجام شده توسط Bowker و همکارانش بر روی فولاد 2.25Cr-1Mo

نزدیک به سطح آزاد نمونه‌ها شروع شده که پس از اشاعه اولیه بصورت مرزدانه‌ای، به ترتیب با مکانیزم‌های شبکه کلیوژ و مکانیزم اتصال حفره‌ها گسترش می‌یابد.

در نمونه‌های شیاردار در حالت شارژ نشده، اشاعه اولیه ترک با مکانیزم بهم پیوستن حفرات از جلوی نوک شیار آغاز شده و با پیشروی بطرف مغز نمونه با مکانیزم شبکه کلیوژ خاتمه می‌یابد. تحت شرایط اعمال شارژ کاتدی هیدروژن، مکانیزم اشاعه ترک در جلوی نوک شیار از مکانیزم بهم پیوستن حفرات به اشاعه مرزدانه‌ای تغییر یافته و درانتها شکست با مکانیزم بهم پیوستن حفرات خاتمه می‌یابد.

همانطور که ملاحظه می‌شود در تمامی نمونه‌های آزمایش با اعمال شارژ کاتدی هیدروژن، مکانیزم اشاعه اولیه ترک از بهم پیوستن حفرات به اشاعه مرزدانه‌ای تغییر یافته و درانتها شکست با مکانیزم بهم پیوستن حفرات خاتمه می‌یابد. نتایج این بررسی حاکی از آن است که ورود هیدروژن اتمی بداخل ساختار و انباست آن علی‌الخصوص در نواحی نزدیک به سطح (با عمق ۲ تا ۳mm در زیر سطح نمونه‌ها) سبب ترد شدن ساختار و به تبع آن سوچ دادن اشاعه ترک از مکانیزم بهم پیوستن حفرات از مغز نمونه به سمت اشاعه مرزدانه‌ای ترک در لبه‌ها و نوک شیار نمونه‌ها می‌گردد. علاوه بر این در ادامه رشد ترک، مکانیزم اشاعه شبکه کلیوژ که نوعی فرآیند شکست کم انرژی می‌باشد بصورت گسترهای در نمونه‌های کششی و SSRT فعال می‌گردد.

نتیجه‌گیری

۱- هیدروژن موجب تغییر رفتار سیلانی در جهت افت خواص مکانیکی آلیاژ 2.25Cr-1Mo با ریزساختار کاملاً بینیتی می‌گردد، بطوریکه خواص استحکام کششی و شکست، کاهش قابل ملاحظه‌ای یافته (بترتیب ۲۰۰ و ۱۰۰۰ MPa) و انعطاف پذیری نمونه‌های مورد آزمایش با ۹۶ درصد کاهش تا حد شکست کاملاً ترد افت می‌نماید.

۲- بارگذاری کششی در نرخ کرنشهای ۱۰^{-۴} و ۱۰^{-۵} و نیز بارگذاری آویزان علاوه بر سطح مقطع شکست اصلی، ترکهای حلقوی شبکی نیز در ناحیه طول سنجه نمونه‌های ترد شده ایجاد می‌گردد.

۳- ترک ناشی از تردی هیدروژنی ابتدا بصورت زیر سطحی و در فصل مشترک آخال با زمینه جوانه زده و سپس به سطح راه می‌یابد.

انعطاف پذیری فولاد 2.25Cr-1Mo با ریز ساختار کاملاً بینیتی در هر دو حالت تمپر شده و نشده افت می‌نماید.

تردی هیدروژنی یک فرآیند برگشت‌پذیر می‌باشد. بطوریکه با خروج هیدروژن از ساختار، خواص مکانیکی به سمت نمونه ترد نشده بازگشت می‌نماید. فرآیند هیدروژن‌زادایی فولادها (عملیات پختن) در گستره دمایی ۱۰۰ الی ۳۰۰°C و طی مدت زمان چند ساعت تا چند روز صورت می‌گیرد [۳].

در تحقیق حاضر بررسیهای مقدماتی صورت گرفته نشان می‌دهد که هیدروژن در دمای محیط نیز قادر به فرار از ساختار فلز و به تبع آن بازگشت خواص مکانیکی به سمت نمونه عاری از هیدروژن می‌باشد. این رفتار در قالب منحنی تغییرات مدت زمان لازم تا شکست برحسب مدت زمان دی شارژ در آزمایش بار آویزان در شکل (۴) نشان داده شده است. بطوریکه ملاحظه می‌شود بازیابی خواص مکانیکی از همان ساعتها اولیه آغاز شده و در زمانهای بالاتر از ۳۲ ساعت دی‌شارژ شکستی در نمونه‌ها ملاحظه نمی‌گردد. مطابق استاندارد BSEN 2832:1993 چنانچه شکستی در نمونه‌های شیاردار در آزمایش حاضر در زمانهای دی‌شارژ بالاتر از ۲۰۰ ساعت ملاحظه نشود، حالت تردی‌زادایی حاصل شده است. لازم به ذکر است که ابعاد قطعه نیز پارامتر مؤثری در مدت زمان تخلیه هیدروژن و بازیابی خواص مکانیکی به شمار می‌رود. در منحنی حاصل از آزمایش مذکور ابعاد قطعه ثابت بوده و تنها تأثیر مدت زمان دی‌شارژ بر زمان لازم تا شکست مورد بررسی قرار گرفته است. بررسی دقیق‌تر فرآیند خروج هیدروژن از فولاد 2.25Cr-1Mo و برگشت خواص مکانیکی از موضوعات آتی تحقیق حاضر می‌باشد که پس از اتمام آزمایشها طی مقاله جدآگاههای مورد بحث و بررسی قرار خواهد گرفت.

تأثیر هیدروژن بر مورفولوژی سطح شکست

مکانیزم‌های شکست در نمونه‌های کشش با سرعت معمولی و SSRT در نرخ کرنشهای مختلف بهمراه مکانیزم‌های شکست در نمونه‌های شیاردار، در شرایط شارژ نشده و شارژ شده در مدل شماتیک شکل (۹) آورده شده است. همانطور که ملاحظه می‌گردد در نمونه‌های کشش و SSRT در حالت شارژ نشده، ترک از مغز نمونه با مکانیزم بهم پیوستن حفرات جوانه زده و در انتهای بصورت ایجاد لبۀ برشی خاتمه می‌یابد. از طرف دیگر در نمونه‌های مذکور در حالت شارژ شده، جوانه‌زنی ترک در ناحیه‌ای

۵- براساس نتایج حاصل از آزمایش بار آویزان مدت زمان لازم برای خروج هیدروژن از نمونه‌ها و بازیابی خواص مکانیکی در دمای محیط برابر ۳۲ ساعت دی‌شارژ تعیین گردید.
تشکر و قدردانی
بدین وسیله از مسؤولین محترم پژوهشگاه صنعت نفت که امکانات لازم جهت تحقیق حاضر را فراهم نمودند تشکر و قدردانی می‌گردید.

- 1 - Timmins, P. F. (1997). *Solution to hydrogen attack in steels*, American Society for Metals, Metals Park, Ohio.
 - 2 - Bernstein, I. M., and Thompson, A. W. (1976). "Effect of metallurgical variables on environmental fracture of steels." *Int. Metals Reviews*, PP. 269-287.
 - 3 - Corrosion. (1992). *ASM Handbook*, Ninth ed., Vol. 13, ASM International, American Society for Metals, Metals Park, Ohio, PP. 163-173.
 - 4 - Hirth, J. P. (1984). "Theories of hydrogen induced cracking of steels." in *Hydrogen Embrittlement and Stress Corrosion Cracking, A Triano Festchrift*, American Society for Metals, Metals Park, Ohio, PP. 29-39.
 - 5 - Moore Jr, E. M., and McIntyre, D. R. (1998). "Common misconceptions about hydrogen induced cracking." *Materials Performance*, Oct., PP. 77-81.
 - 6 - Murakami, Y., Nomura, T., and Watanabe, J. (1982). "Heavy section $2\frac{1}{4}$ -Cr-1Mo steel for hydrogenation reactors." in *Application of $2\frac{1}{4}$ -Cr-1Mo Steel for Thick Wall Pressure Vessels*, ASTM STP755, American Society for Testing and Materials, PP. 383-417.
 - 7 - Watanabe, J., Ohnishi, K., Chiba, R., Murakami, Y., and Nomura, T. (1982). "Hydrogen embrittlement of pressure vessels overlaid with stainless steel." Document No. R.(PV)82-022, The Japan Steel Works, Muroran, Japan.
 - 8 - Smit, K., and Ivens, P. F. (1993). "Hydrogen in thick walled, high temperature hydrogen reactors during service and during shutdown." in *Int. Conf. on Interaction of Steels with Hydrogen in Petroleum Industry Pressures Vessel service*, The Materials Properties Council, New York, PP. 305-310.
 - 9 - Kayano, R., Hasegawa, T., and Tanaka, Y. (1999). "Serviceability assessment of hydrogen processing pressure vessels and damage repair welding." Document No. XI. 706.99, The Japan Steel Works, Muroran, hokkaido, Japan.
 - 10 - McLaughlin, B. D., and Yon, T. Y. (1994). "Outgassing for hydroprocessing vessels." *Chemical Engineering Communication*, Vol. 129, PP. 123-134.

۴- با ورود هیدروژن بداخل ساختار در نمونه‌های کشش و SSRT محل جوانه زنی ترک از مغز نمونه به ناحیه‌ای نزدیک به سطح آزاد انتقال یافته و مکانیزم اشاعه اولیه ترک از اتصال حفرات به مکانیزم مرزدانه‌ای تغییر می‌یابد. علاوه بر این در ادامه روشن شد، مکانیزم شکست شبکه کلیووازی که نوعی فرآیند شکست کم انرژی می‌باشد بصورت گستردگی افعال می‌شود. در نمونه‌های شیار دار نیز اشاعه اولیه ترک با مکانیزم مرزدانه‌ای از نوک شیار آغاز می‌گردد و در مغز نمونه با مکانیزم اتصال حفرات خاتمه یافته و شکست بوقوع می‌پیوندد.

مراجع

- 10 - Brouwer, R. C. (1993). "Hydrogen distribution in the wall of pressure vessels made of conventional and V-modified steels.", *Int. J. of Pressure Vessels & Piping*, Vol. 56, PP. 133-148.

11 - عابدی، س، ش. آیجاد تردی هیدروژنی در فولاد 2.25 Cr-1Mo 2بار ریز ساختار کاملاً بینیتی و بررسی برگشت خواص مکانیکی و سینتیک خروج هیدروژن از فولاد مذکور در دمای محیط.، پایان نامه کارشناسی ارشد، دانشکده فنی، دانشگاه تهران، تهران (۱۳۸۰).

12 - عابدی، س. ش، فرهنگی، ح. و قاسم، ح. "بررسی مورفولوژی شکست حاصل از ترک برداری هیدروژنی در فولاد کم کربن و کم آلیاز حاوی کروم و مولیبدن." پنجمین کنگره سالانه انجمن مهندسین متالورژی ایران، ص ۲۴۷-۲۵۵ (۱۳۸۰).

13 - Townsend, H. E. (1981). "A study of the entry and removal of hydrogen during coating and thermal treatment of steels." *Corrosion*, Vol. 37, No. 2, PP. 115-120.

14 - Nair, S. V. (1989). "Atomistic modeling of hydrogen assisted fracture threshold: K_{ISCC}." *Fracture Mechanics: Microstructure and Micromechanism*, American Society for Metals, Metals Park, Ohio, PP. 169-199.

15 - Uhlig, H. H., Revie, R. W. (1985). *Corrosion and corrosion control*, 3rd ed., John Wiley & Sons, New York, PP. 142-146.

16 - عابدی، س. ش، قاسم، ح. و فرهنگی، ح. "تأثیر نرخ کرنش بر شکست ناشی از هیدروژن در فولاد کم کربن و کم آلیاز 2.25Cr-1Mo 2." نشریه زنگ، انجمن خودگی ایران، شماره ۳، ص ۲۹-۳۳ (۱۳۸۰).

17 - جمالی فر، ع. "بررسی اثر تردی تمپر و تردی هیدروژنی بر خواص مکانیکی فولاد 2.25Cr-1Mo." پایان نامه کارشناسی ارشد، دانشکده مهندسی مواد، دانشگاه صنعتی شریف، تهران، (۱۳۷۲).

18 - Bowker, J., Piggott, M. R., and Weatherly, G. C. (1984). "The effects of hydrogen on the mechanical properties of a $2\frac{1}{4}$ Cr-1MO alloy steel." in *Conf. Proc. of Advances in Fracture Research (ICF6)*, Oxford, England, PP. 2371-2378.

واژه‌های انگلیسی به ترتیب استفاده در متن

- 1 - Hydrogen Embrittlement
 - 2 - Slow Strain Rate Test (SSTR)
 - 3 - Sustained Load
 - 4 - Trapped
 - 5 - Mobile